

大阪大学工学部 正員 小松定夫
大阪大学工学部 正員 西村宣男
大阪大学大学院 学生員 中川知和

1. まえがき 本文は変形法を用いた補剛トラス吊橋の立体解析の効率化について述べたものである。吊橋は非常に多くの部材から構成されたため、これまで多くは補剛トラスをはり、あるいは薄肉箱型断面に置換して解析が行なわれてきただが、より正確には補剛トラスを立体のままとえた変形法による立体解析が必要であると思われる。しかし、吊橋の様な大型構造物に変形法を適用しようとすると膨大な計算時間、計算機容量を必要とする。本解析においては、主記憶装置50 Kワード程度の計算機であれば、補助記憶装置を使用せずに専らIncore処理で計算できる様に節点の自由度の低減、計算時間削減、入力カードを可能な限り減ずることなどの改良を行った。

2. 刚性マトリックス 本法では、吊橋を構成する個々の部材の剛性マトリックスを全体系について集成するのではなく、図1に示す様にケーブル・ハンガーを含む補剛トラスの1パネルに相当するブロックについて予め剛性マトリックス（ブロック剛性マトリックス）を作成しておく。主構と横構の骨組構成について形状インデックスをIn-putすると、ブロック内の部材のつながりは自動的に構成され、部材関連データを省略できる。図1に示す様な横構がKトラスの場合には、8種のインデックスの組合せとなる。さらに、図1の太線で示す部材（補剛トラス垂直柱および横構支柱）の伸縮を無視して自由度の低減を行っている。すなわち、これら部材の一端の軸方向変位は他端の対応する変位で代表される。剛性マトリックスを集成する際には、この剛性部材に結合される全部材の部材力の剛部材軸方向に関する釣り合いを考える。この様な自由度低減に伴う誤差を集中ねじり荷重および分布ねじり荷重を受ける単純トラスについて調べた結果、パネル数が40以上になれば、部材力、変位とも誤差は1%以下になることを確認した。自由度の低減によって全節点変位自由度を考慮する一般的な変形法に比べて、本法の節点変位自由度は1パネルにつき24から14に約40%減少している。また基本式の誘導に用いた主な仮定は次の様なものである。1) 応力はすべて弾性範囲内にある。2) 吊橋はすべて直線部材より構成される。3)

死荷重などによるケーブル・ハンガーの初期張力が剛性に与える影響を考慮する。なお、全体系剛性マトリックスの(半バンド幅+1)は20であり、剛性マトリックスおよび荷重を記憶するに必要な容量は、(パネル数+1)×14×(20+1)である。

3. 自由度の低減 本プログラムは任意の荷重状態に適用でき、鉛直たわみ、ねじり、水平横方向変形などの連成を考慮しているが、これら連成の影響が小さい

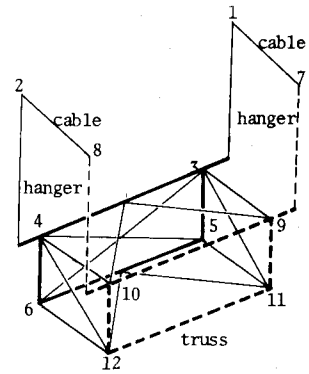


図1 1ブロック

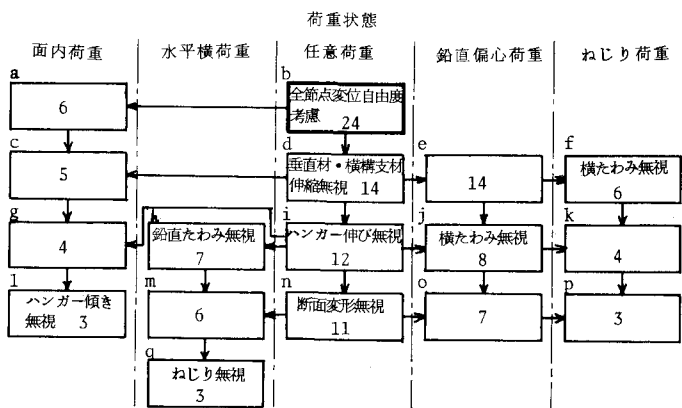


図2 自由度低減の流れ図

ものとして仮に鉛直方向変形解析、水平横方向変形解析、ねじれ変形解析を独立に行なうとすれば、さるに自由度の低減を計ることができる。この操作を行なった場合 1 パネルの変位自由度数はどう変化していくかを図 2 に示した。図 2 において [] には Melan J.¹⁾ の膜理論による解法が対応する。同様に [] には Selberg, A.²⁾, C³⁾ に Szidarovszky, J.⁴⁾, S⁵⁾ に Moisseiff, L.S.⁶⁾, m⁷⁾ に吉塚⁸⁾, n⁹⁾ に小松西村¹⁰⁾, P¹¹⁾ に Bleich, F.¹²⁾, k¹³⁾ に小松西村¹⁴⁾, j¹⁵⁾ に小松西村(自由度 7)¹⁶⁾, n¹⁷⁾ に島田(自由度 10)¹⁸⁾, などの理論が対応する。

4. 数値計算例 仕事荷重用プログラムにより、スパン 260m + 100m + 260m の三径間連続吊橋を対象として数値計算を行った。その結果と膜理論によるものと比較して以下の結論を得た。なお荷重状態は、case 1 鉛直偏心荷重（中央径間側に道路荷重 2.16 t/m 偏心量 7m 満載；鉄道荷重 8.04 t/m 偏心量 5.3m 中央径間左タワーより 370m 間に載荷）。および Case 2 橫荷重 [ケーブル 0.765 t/m (main), 0.89 t/m (side)、吊構造 3.88 t/m (main), 3.97 t/m (side)] である。主要諸元は表 1 に示した。

1) 計算機容量は、1 case につき本法 4.5 kW, 膜理論 14 kW で、膜理論は中型計算機で処理できるが、本法は大型計算機を必要とする。2) 計算時間 (CPU time) は 1 case につき膜理論 9 秒、本法 8 秒である。ただし、膜理論が非線形計算を行っている一方、本法では線形化計算であるため、計算時間は同程度であるが、本法に不釣合性計算を導入すれば、1 case 約 30 秒程度になると予想される。3) case 1 について補剛トラスの鉛直たわみ (表 2) を比較すると最大たわみで 3.4% 程度の差が生じている。この差は膜理論が非線形計算を行っている点に起因すると考えられる。また主構斜材部材力 (表 3) については膜理論による数値が 5~13% 程度大きくなっている。この差は膜理論が補剛トラスのせん断变形を無視している点によるものと思われる。4) case 2 の横構斜材部材力 (表 4) は上下横構で 2~9% 程度の差が生じている。また端支点付近の上下横構応力は本法と膜理論でかなりの相違が認められる。これら

の差は本法で支点上で斜傾構せん断变形を許す実際に近い支持条件を考慮しているためであると思われる。5) case 2 においてケーブルおよび吊構造せん断中心の中央径間中点の

横方向変位は、本
法 $U_c = 5.36 \text{ m}$, $U_5 = 5.67 \text{ m}$, 膜理論
 $U_c = 5.09 \text{ m}$, $U_5 = 5.37 \text{ m}$ である。本

表 3 case 1 主構斜材部材力 (左中間支点)

	側径間側		中央径間側	
	載荷側	非載荷側	載荷側	非載荷側
本法	-153.3	-177.3	-950.2	-332.2
膜理論	-176.1	-186.7	-1038.7	-369.4
誤差	12.9%	5.0%	8.5%	10.0%

単位 ton

表 1 主要諸元

トラス高	13 m	パネル間隔	13.095 m
トラス幅	32 m	[] (side)	13 m
ケーブル間隔	37 m	ケーブル断面積	0.671 m ²
ケーブルサグ	100 m	ヘンガー []	0.015 m ²
斜材断面積	0.0668 m ²	対傾構斜材 []	0.00276 m ²
弦材 []	0.122 m ²	ケーブル重量	13.24 t/m
横構斜材 []	0.0373 m ²	つり構造 []	28.7 t/m

表 2 case 1 鉛直たわみ

	左側径間最大値		中央径間最大値		右側径間最大値	
	載荷側	非載荷側	載荷側	非載荷側	載荷側	非載荷側
本法	-0.4459	-0.4181	2.2191	1.8856	-0.1637	-0.1347
膜理論	-0.4617	-0.4329	2.1451	1.8194	-0.1485	-0.1264
誤差	3.4%	3.4%	3.4%	3.5%	9.2%	8.0%

単位 m

表 4 case 2 橫構斜材部材力 (中間支点)

	側径間側		中央径間側	
	上横構	下横構	上横構	下横構
本法	447.3	497.9	514.5	581.7
膜理論	475.2	452.3	526.5	552.8
誤差	5.9%	9.2%	2.3%	5.0%

単位 ton

法ではタワーの変形を考慮しているのでこの様な差が生じたと考えられる。

5. あとがき 本法は一般の変形法に比べて計算時間、計算機容量が上記の様に少なく、形状インデックスにより骨組構成を制御するので入力カードもごくわずかである。また補剛トラスを箱型断面に置換することなくトラスのまま解析しているので厳密性が高く実用的には十分満足できるものと思われる。ところで本法を完成系の吊橋の非線形解析に適用することについては講演当日発表する予定である。

参考文献 1) Melan, J. : Handbuch der Ingenieurwissenschaften, 1888 2) Selberg, A. : Stahlbau (1954), H. 5, S. 97 3) Szidarovszky, J. : ASCE, ST 11, 1960 4) Moisseiff, L.S., and F. Lienhard : ASCE Vol. 58, 1932 5) 吉塚純治：橋梁と基礎、第 6巻、1972 6) 小松定夫・西村宣男：関西支部講演概要集、1974 7) Bleich, F. et al. : Mathematical theory of Vibration in Suspension Bridges, 1950 8) 小松定夫・西村宣男：第 30 回全国大会講演概要集、1975 9) 島田静雄：土木学会論文集、第 81 号、1961